

折れ板構造の弾塑性解析
- 2枚折れ板 -

九州東海大学 正員 ○右田泰弘
大阪大学 正員 西村宣男
大阪大学 正員 福本 啓士

1. はじめに
最近吊橋や斜張橋の採用が優れ、鋼断面鋼柱が採用されるようになり、柱の耐荷力、柱の圧縮耐力、アスペクト比、曲げ角度、薄板立研究

斜張橋の採用が優れ、鋼断面鋼柱が採用されるようになり、柱の耐荷力、柱の圧縮耐力、アスペクト比、曲げ角度、薄板立研究

研究の進捗に伴い、材料特性、影響を考慮し、解析モデルを用いて、初期たわみ、最大初期たわみ、初期たわみタイプ、軸方向、板幅方向の残留応力、初期たわみタイプ、軸方向、板幅方向の残留応力、初期たわみタイプ、軸方向、板幅方向の残留応力

2. 解析モデル
解析に用いた断面形状、寸法を図-1に示した。残留応力は図-2を考慮し、初期たわみタイプは図-3で示すように、板幅方向にはsinの1、3、5半波のタイプとした。また、最大初期たわみ量として、材料常数はSS41材

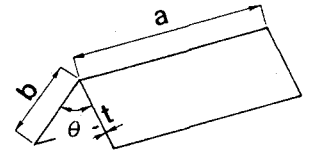
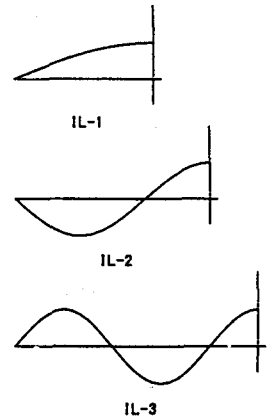


図-1 解析モデル

3. 数値計算結果

3.1 アスペクト比に関する検討

$\theta = 135^\circ$ のときの最大応力～アスペクト比～幅厚比関係を図-4に示す。 $b/t=30$ の場合には若干ずれがあるが、初期たわみタイプ(IL-1)では $a/b \approx 0.7$ で、(IL-2)では $a/b \approx 2.0$ で、(IL-3)では $a/b \approx 3.5$ で最大応力は最小値となる。また、初期たわみタイプ(IL-2)と(IL-3)では最大応力の最小値はほぼ同じであるが、タイプ(IL-1)はこれらより1%～3%程度大きい値を示している。単一板要素では最大応力は $a/b=0.7$ のとき最小とされる場合もあるが、最大応力



(軸方向)

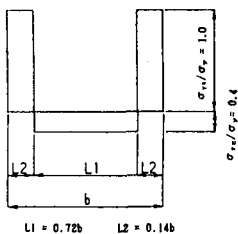
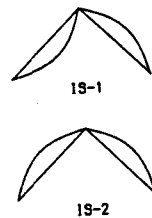


図-2 残留応力



(板幅方向)

図-3 初期たわみ

は断面形状、幅厚比、初期不整によっても異なるので、ここでは $a/b=0.7$ 、初期たわみタイプ (IL-1) の場合と $a/b=2.0$ 、初期たわみタイプ (IL-2) の場合の最大応力と折れ曲げ角の関係を求めた。

3.2 最大応力と折れ曲げ角の関係

図-5に、最大応力と折れ曲げ角の関係を示している。最大応力は折れ曲げ角が $\theta=5^\circ \sim 20^\circ$ 間は急な勾配で、 $\theta=30^\circ \sim 60^\circ$ 間は緩やかな勾配で上昇し、 $\theta=60^\circ \sim 160^\circ$ 間は一定値となる。 $a/b=2.0$ について $\theta=5^\circ, 120^\circ$ の最大荷重時の変形形状をみると $\theta=5^\circ$ ではコーナ部と端部が移動しているが、 $\theta=120^\circ$ ではコーナ部および端部の移動はなく、各板要素は4辺単純支持の板と考えてよいものと考えられる。

$\theta > 160^\circ$ では約2%程度の上昇がみられる。吉田³⁾は2枚の折れ板の弾性座屈解析を行い、折れ曲げ角が $\theta=160^\circ \sim 170^\circ$ の間で座屈係数が不連続になり、それ以上の折れ曲げ角では座屈係数が小さくなることを指摘している。また $\theta=180^\circ$ は板幅 $2b$ の4辺単純支持板に相当するので(初期不整が単一板の場合と異なるが)最大応力は低くなるものと考えられる。これらのことから $\theta=175^\circ, 180^\circ$ について a/b 、初期たわみタイプを変えて最大応力を求めると図-6の☆で示した値となる。この範囲の最大応力については、なお検討の必要があるが、×、○を求めた初期たわみは高次の座屈モードに対応しているものと考えられる。

4. おわりに

2枚折れ板の最大応力とアスペクト比および折れ曲げ角の関係を図-4、5に示した。多角形断面においては、板要素の構成と他の板要素との関係が考慮されているので、これらの板要素の相互の影響を考慮するため3枚折れ板から多角形断面の弾塑性解析を行い、単一板、折れ板、多角形断面の関係について考察する予定である。

参考文献

- 1) 右田・青木・福本：土木学会論文集、No.422/I-9,1990.
- 2) MIGITA, Y., AOKI, Y. and Fukumoto, Y.: J. Struct. Engrg., ASCE, Vol.118, No.10, 1992.
- 3) 吉田宏一郎：日本造船学会論文集、第130号,1971.

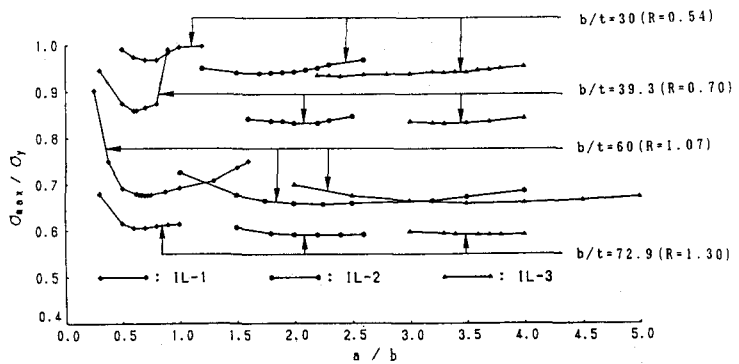


図-4 $\sigma_{max}/\sigma_y \sim a/b$ 関係

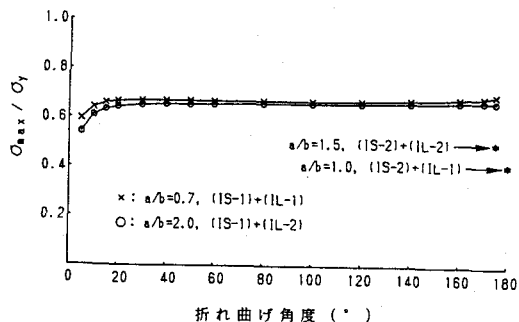


図-5 $\sigma_{max}/\sigma_y \sim \theta$ 関係